

## مطالعهٔ وابستگی دمایی رسانش بایاس صفر در نانو سیم فلزی متصل شده به یک ابررسانای موج-d

حمیدرضا امامی پور<sup>۱\*</sup>، نرگس مهرازیاد<sup>۲</sup>

<sup>۱</sup>بخش فیزیک، دانشکده علوم پایه، دانشگاه ایلام، ایلام، ایران

<sup>۲</sup>گروه فیزیک، دانشکده علوم پایه، دانشگاه آزاد، تهران مرکز، تهران، ایران

### چکیده

در این مقاله رسانش بایاس صفر را بر حسب دما در اتصالی مطالعه می‌کنیم که بین یک نانو سیم فلزی و یک ابررسانای موج-d قرار گرفته است. ابررسانا را در جهت (۱۰۰) و (۱۱۰) در نظر می‌گیریم و بر اساس نظریه پراکندگی رسانش بایاس صفر را بر حسب دما و شدت پتانسیل اتصال به دست می‌آوریم و نتایج را با موارد حجیم مقایسه خواهیم کرد. نتایج نشان می‌دهند که در جهت (۱۰۰) منحنی‌های رسانش به طور کیفی تفاوتی بین نانو سیم (فلز یک بعدی) و فلز نرمال دو بعدی را نشان نمی‌دهند در حالی که در جهت (۱۱۰) رسانش بایاس صفر بر حسب شدت پتانسیل اتصال، صعودی می‌باشد در حالی که این منحنی برای مورد نانو سیم کاهشی می‌باشد که دلیل آن به ناپدید شدن پیک‌های رسانش در بایاس صفر مربوط می‌شود.

**کلیدواژگان:** ابررسانایی، نانو سیم، رسانش بایاس صفر

رسانش بایاس صفر برای موارد مختلف ابررساناهای غیرعادی تا کنون مطالعه شده است که برای نمونه می‌توان به مراجع [۲-۴] اشاره نمود. در تمامی این موارد اتصالات مطالعه شده از یک ابررسانای غیر عادی و یک فلز نرمال دو بعدی تشکیل شده است.

در این مقاله به مطالعه رسانش بایاس صفر در اتصالی خواهیم پرداخت که بین یک ابررسانای موج-d و یک نانو سیم فلزی قرار دارد. نتایج به دست آمده نشان می‌دهند که منحنی‌های رسانش هنگامی که ابررسانا در جهت (۱۰۰) قرار دارد تفاوت چندانی بین اتصالات نانو سیم/ابررسانا با فلز نرمال دو بعدی/ابررسانا نشان نمی‌دهند. اما هنگامی که ابررسانا در جهت (۱۱۰) قرار می‌گیرد پیک‌های رسانش که معمولاً در اتصالات دو بعدی فلز نرمال ظاهر می‌شوند در نانو سیم فلزی از بین می‌روند. ساختار این مقاله به این شکل است که ابتدا در بخش بعد سیستم مورد مطالعه و فرمول‌بندی مورد

### مقدمه

یکی از مشخصه‌های فیزیکی مهم در اتصالات ابررسانا-فلز نرمال رسانش بایاس صفر می‌باشد. اهمیت این مشخصه آنگاه مشخص شد که تاناکا و کاشیوا در سال ۱۹۹۵ نظریهٔ تونلی خود را برای ابررساناهای غیر عادی ارائه کردند [۱]. آن‌ها پیک‌های رسانش بایاس صفر را در طیف تونلی مشاهده کردند که متأثراً آن به تغییر علامت پارامتر نظم ابررسانایی در سطح فرمی مربوط می‌شود و در شرایطی اتفاق می‌افتد که زاویه ابررسانا نسبت به خط عمود بر فصل مشترک مخالف صفر بوده و نیز شدت پتانسیل اتصال نیز بالا باشد. پیک‌های رسانش در اتصالات تجربی ساخته شده آزمایشگاهی، با وجود ابررساناهای غیر عادی مشاهده شدند و پس از آن از حضور این پیک‌های رسانش به عنوان نشانه‌ای قوی از تقارن موج-d برای ابررسانای دمای بالای کشف شده در سال ۱۹۸۶ یاد می‌شود.

\*نویسنده مسئول: h\_emamipour@yahoo.com

## مطالعه وابستگی دمایی رسانش بایاس ...

پتانسیل جفتی ابررسانا را به صورت  $\Delta(\vec{r}, \vec{k}) = \Delta(\vec{k})\theta(x)$  در نظر می‌گیریم که در آن  $\theta(x)$  تابع گام می‌باشد که به ازای  $x > 0$  برابر یک و به ازای  $x < 0$  برابر صفر می‌باشد.

همچنین  $\Delta(\vec{k}) = \Delta_{\pm} = \Delta(T) \cos(2\theta \mp 2\beta)$  می‌باشد.  $\Delta(T)$  از نظریه BCS برای تقارن موج-d می‌باشد. به دست می‌آید که جزئیات مربوط به محاسبه آن در مرجع [۱۰] آمده است. به این ترتیب می‌توان معادلات ۱ را برای نواحی نانو سیم و ابررسانا حل نمود. با حل این معادلات تابع موج نانو سیم به صورت زیر به دست می‌آید:

۲

$$\psi_N(x, y) = \begin{pmatrix} e^{ixk_x} + be^{-ixk_x} \\ ae^{ixk_x} \end{pmatrix} \sqrt{\frac{2}{w}} \sin \left[ \frac{\pi}{w} \left( y + \frac{w}{2} \right) \right]$$

که در اینجا a و b ضرایب بازتاب آندریف [۵] و نرمال  $k_x = \sqrt{k_f^2 - \left(\frac{\pi}{w}\right)^2}$  می‌باشند.  $k_x$  به صورت

تعریف می‌شود. تابع موج در ناحیه دو بعدی ابررسانا از رابطه زیر تبعیت می‌کند [۱۱-۱۳]:

۳

$$\psi_S = C \int_{-k_F}^{+k_F} \left( \frac{\Delta_+}{E - \Omega_+} \right) \exp \left[ i \left( y \rho + x \sqrt{k_F^2 - \rho^2} \right) \right] d\rho + D \int_{-k_F}^{+k_F} \left( \frac{\Delta_-}{E + \Omega_-} \right) \exp \left[ i \left( y \rho - x \sqrt{k_F^2 - \rho^2} \right) \right] d\rho$$

که در اینجا  $\Omega_{\pm} = \sqrt{E^2 - |\Delta_{\pm}|^2}$ . رسانش بهنجار شده در بایاس‌های مخالف صفر به صورت زیر است:

۴

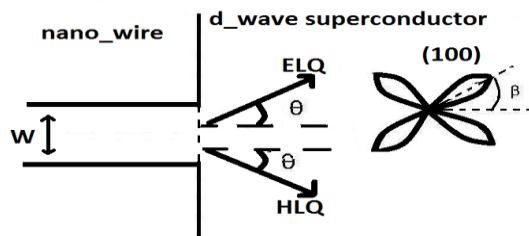
$$G(ev) = \frac{\int_{-\infty}^{+\infty} g_{NS}(E) \sec h^2 \left( \frac{E - ev}{2k_B T} \right)}{\int_{-\infty}^{+\infty} g_{NN}(E) \operatorname{sech}^2 \left( \frac{E - ev}{2k_B T} \right)}$$

رسانش بایاس صفر بهنجار شده به صورت زیر تعریف می‌شود [۸]:

نظر را بیان می‌کنیم سپس در بخش بعد به ارائه نتایج عددی مربوط به رسانش می‌پردازیم. لازم است اشاره کنیم که مطالعه وابستگی دمایی رسانش بایاس صفر در نانو سیم متصل شده به ابررسانای غیر عادی موج-d تا کنون انجام نشده و برای اولین بار در این مقاله ما به آن می‌پردازیم.

## مدل و فرمول بندي

مدل مورد نظر یک اتصال نانو سیم/ابررسانای موج-d می‌باشد که به طور نمادین در شکل ۱ نشان داده شده است. پهنهای نانو سیم W بوده و ضخامت صفحه‌ای که نانو و ابررسانا در آن قرار دارند را بی‌نهایت کوچک در نظر می‌گیریم.



شکل ۱. نمایش نمادین سیستم مورد مطالعه.  $\beta$  زاویه بین جهت (۱۰۰) ابررسانا با خط عمود بر فصل مشترک می‌باشد. ELQ و HLQ به ترتیب شبیه‌ذرات الکترونی و حفره‌ای را نشان می‌دهند.

شبیه‌ذرات از نانو سیم به سمت فصل مشترک حرکت می‌کنند و از معادلات زیر که به معادلات بوگلیو بوف-دژن معروف هستند تبعیت می‌کنند:

$$\begin{pmatrix} \hat{h}_0 & \Delta(\vec{r}, \vec{k}) \\ \Delta^*(\vec{r}, \vec{k}) & -\hat{h}_0 \end{pmatrix} \begin{pmatrix} f(\vec{r}, \vec{k}) \\ g(\vec{r}, \vec{k}) \end{pmatrix} = E \begin{pmatrix} f(\vec{r}, \vec{k}) \\ g(\vec{r}, \vec{k}) \end{pmatrix}$$

در اینجا  $\hat{h}_0$  هامیلتونی تکذره بوده که به صورت  $\hat{h}_0 = -\frac{\hbar^2}{2m^*} \nabla^2 - V_0 \delta(x) - \epsilon_F$  تعریف می‌شود. E ارزی شبیه‌ذرات می‌باشد که نسبت به ارزی فرمی  $E_F$  سنجیده می‌شود. فرض می‌کنیم که جرم مؤثر و ارزی فرمی در دو طرف اتصال یکسان می‌باشند.

## نتایج عددی

شکل‌های ۲ و ۳ منحنی‌های رسانش بایاس صفر ZBC را به ترتیب بر حسب دما و شدت پتانسیل اتصال نشان می‌دهند. لازم است اشاره کنیم که نتایج عددی به ازای

$$\gamma_F = k_F \frac{w}{\pi} = 1.7$$

بعدی است که شدت پتانسیل اتصال را نشان می‌دهد.

این منحنی‌ها برای جهت‌های بلوری (۱۰۰) و (۱۱۰) و در دمایا و شدت‌های پتانسیل مختلف رسم شده‌اند.

جهت بلوری (۱۰۰) به ازای  $\beta = 0$ ، و جهت بلوری (۱۱۰) به ازای  $\beta = \pi/4$  تعریف می‌شوند. همانگونه که

از شکل (۲a) مشاهده می‌شود در دمایا پایین و به ازای  $z=0$  یک بیشینه در ZBC مشاهده می‌شود که

با افزایش  $Z$  این بیشینه به سمت صفر میل می‌کند.

افزایش دما باعث می‌شود که منحنی ZBC به ازای ZBC،  $z=1, 10$  کاهش یابد در حالی که به ازای  $z=0$

رفتاری افزایشی را نشان می‌دهد. علت این امر به این واقعیت برمی‌گردد که با افزایش دما، پارامتر نظم

ابررسانایی کاهش می‌یابد به گونه‌ای که در [۱۰]

$$\frac{k_B T}{\Delta_0} \simeq 0.47$$

لذا  $g_{NN}$  به  $g_{NS}$  تبدیل می‌شود به گونه‌ای در ZBC به سمت یک میل می‌کند.

شکل ۲b منحنی ZBC بر حسب دما برای جهت بلوری (۱۱۰) به ازای Z های مختلف، نشان می‌دهد. نکته جالب مشاهده شده در این نمودار این است که در دمایا

$$\frac{k_B T}{\Delta_0} = 0, \text{ مقدار ZBC مستقل از}$$

پایین، مثلاً در ۰ مقدار ZBC مستقل از مقدار Z برابر صفر می‌شود. این مطلب در تضاد با اتصالات دو بعدی ابررساناهای غیر عادی می‌باشد.

همانگونه که مراجع [۸] نشان می‌دهند مقدار رسانش بایاس صفر به مقدار Z وابسته می‌باشد به گونه‌ای که با افزایش Z مقدار ZBC نیز افزایش یافته

$$ZBC(T, z) = \frac{\int_{-\infty}^{+\infty} g_{NS}(E) \sec h^2(E/2k_B T) dE}{\int_{-\infty}^{+\infty} g_{NN}(E) \sec h^2(E/2k_B T) dE}$$

که در اینجا  $g_{NS} = 1 + |a|^2 - |b|^2$  بوده و به صورت زیر تعریف می‌شود:

$$g_{NN} = \frac{4\gamma_x F_0}{z^2 + (\gamma_x + F_0)^2}$$

$$F_0 = \frac{4}{\pi^2} \int_{-\gamma_F}^{+\gamma_F} \sqrt{\gamma_F^2 - q^2} \frac{\cos^2\left(\frac{\pi}{2}q\right)}{(1-q^2)^2} dq$$

در اینجا  $z$ ،  $\gamma_F$  و  $q$  پارامترهای بدون بعدی هستند که به صورت زیر تعریف می‌شوند:

$$z = \frac{2mwV_0}{\pi\hbar^2}; \gamma_F = k_F \frac{w}{\pi}; \gamma_x = k_x \frac{w}{\pi}; q = \frac{\pi}{w}\rho$$

ضرایب a(E) و b(E) نیز با اعمال شرایط مرزی به شکل زیر به دست می‌آیند:

$$a(E) = \frac{2\gamma_x F_3}{[\gamma_x + F_1]^2 + z^2 - F_2 F_3}$$

$$b(E) = \frac{(\gamma_x - iz)^2 + F_2 F_3 - F_1^2}{[\gamma_x + F_1]^2 + z^2 - F_2 F_3}$$

که در آن  $F_1$ ،  $F_2$  و  $F_3$  به شکل زیر تعریف می‌شوند:

$$F_i = \frac{4}{\pi} \int_{-\gamma_F}^{+\gamma_F} \sqrt{\gamma_F^2 - q^2} \frac{\cos^2\left(\frac{\pi}{2}q\right)}{(1-q^2)^2} f_i(q) dq$$

$$f_1 = \frac{1 + \Gamma_+ \Gamma_- e^{-i4\beta}}{1 - \Gamma_+ \Gamma_- e^{-i4\beta}}, f_2 = \frac{2\Gamma_- e^{+i2(\theta+\beta)}}{1 - \Gamma_+ \Gamma_- e^{-i4\beta}}$$

$$f_3 = \frac{2\Gamma_+ e^{-i2(\theta-\beta)}}{1 - \Gamma_+ \Gamma_- e^{-i4\beta}}, \Gamma_\pm = \frac{\sqrt{E - \Omega_\pm}}{\sqrt{E + \Omega_\pm}}$$

با قرار دادن ضرایب a(E) و b(E) در رابطه ۵ رسانش بایاس صفر به دست می‌آید که در بخش بعد به ارائه نتایج عددی حاصل از آن می‌پردازیم.

۱۱

$$f_1 = \frac{1-e^{-i4\beta}}{1+e^{i4\beta}}; f_2 = \frac{2ie^{i2(\theta+\beta)}}{1+e^{i4\beta}}; f_3 = \frac{2ie^{i2(\theta-\beta)}}{1+e^{i4\beta}}$$

در جهت بلوری (۱۱۰) مقدار  $\beta = \pi/4$  می‌باشد که در این حالت مقادیر  $f_1, f_2$  و  $f_3$  واگرا می‌شوند، همان‌طور که معادلات ۱۱ نشان می‌دهند. در این صورت مقادیر  $F_1, F_2$  و  $F_3$  نیز واگرا شده، به‌گونه‌ای که مقدار بازتاب آندریف به‌سمت صفر و مقدار بازتاب نرمال به‌سمت یک میل می‌کنند (روابط ۸ را ببینید) و لذا رسانش  $g_{NS} = 1 + |a|^2 - |b|^2$  به‌سمت صفر میل خواهد کرد. افزایش دما باعث می‌شود که مقدار ZBC

$$\frac{k_B T}{\Delta_0} \simeq 0.47$$

به‌یک بررسد. علت افزایش یافته و در

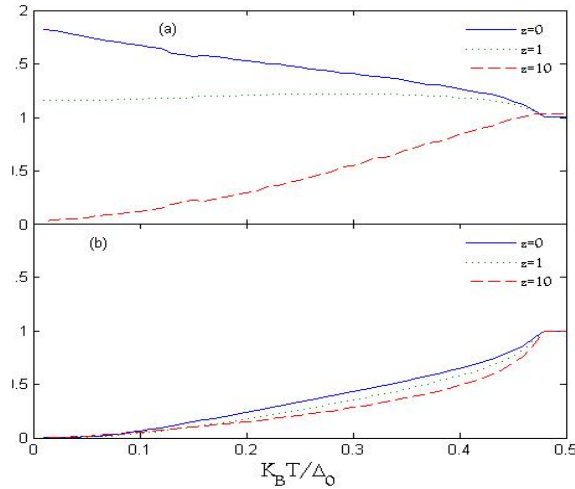
این مطلب همان‌طور که در بالا نیز ذکر شد به‌دلیل کاهش پارامتر نظم ابررسانایی مربوط می‌باشد.

در شکل ۳ منحنی‌های ZBC را بر حسب شدت پتانسیل اتصال در دماهای مختلف رسم کرده‌ایم. مقایسه شکل‌های ۳(a) و ۳(b) نشان می‌دهد که رفتار ZBC به‌طور کیفی برای جهت‌های بلوری (۱۰۰) و (۱۱۰) یکسان است. اما بررسی‌های دقیق‌تر تفاوت‌های مهمی را آشکار می‌سازد.

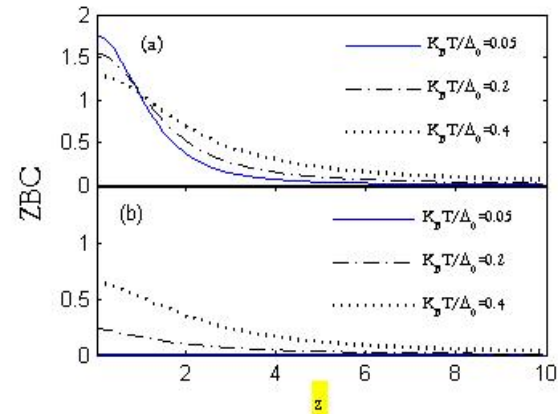
به عنوان نمونه شکل ۳(a) نشان می‌دهد که ZBC کوچک مقدار رسانش در دماهای پایین بیشتر است. یعنی در  $z=0$  مقدار ZBC در دمای  $\frac{k_B T}{\Delta_0} = 0.05$  تقریباً ۱.۷۵، در دمای  $\frac{k_B T}{\Delta_0} = 0.2$  تقریباً ۱.۵ و در دمای  $\frac{k_B T}{\Delta_0} = 0.4$  تقریباً ۱.۳ می‌باشد.

این روند در شکل ۳(b)، یعنی به‌ازای جهت بلوری (۱۱۰) معکوس می‌شود. یعنی در ZBC کوچک مقدار رسانش ZBC در دماهای بالا بیشتر است، به‌عبارتی دیگر همان‌گونه که شکل ۳(b) نشان می‌دهد به‌ازای  $z=0$  در دمای  $\frac{k_B T}{\Delta_0} = 0.05$  مقدار رسانش ZBC تقریباً

و پیک‌های رسانش بایاس صفر ظاهر می‌گردند. در حالی که اگر فلز دو بعدی را با یک سیم کوانتومی یک بعدی (نانوسیم) جایگزین کنیم این پیک‌ها از بین می‌روند که این مطلب در دماهای پایین از شکل ۲b مشاهده قابل مشاهده است.



شکل ۲. منحنی رسانش بایاس صفر بر حسب دما، به‌ازای شدت‌های پتانسیل مختلف اتصال. شکل a برای جهت (۱۰۰) و شکل b برای جهت (۱۱۰) رسم شده‌اند.



شکل ۳. منحنی رسانش بایاس صفر بر حسب شدت پتانسیل اتصال در دماهای مختلف. شکل a برای جهت (۱۰۰) و شکل b برای جهت (۱۱۰) رسم شده‌اند.

یعنی مقدار رسانش برخلاف اتصالات دو بعدی غیرعادی با افزایش ZBC کاهش یافته و به‌سمت صفر میل پیدا می‌کند. برای درک عمیق‌تر ویژگی غیرعادی، معادلات ۱۰ را بررسی می‌کنیم. در انرژی‌های برانگیخته صفر مقادیر  $f_1, f_2$  و  $f_3$  به صورت زیر می‌باشند:

$$f_1 = \frac{1-e^{-i4\beta}}{1+e^{i4\beta}}; f_2 = \frac{2ie^{i2(\theta+\beta)}}{1+e^{i4\beta}}; f_3 = \frac{2ie^{i2(\theta-\beta)}}{1+e^{i4\beta}}$$

بایاس صفر ناپدید می‌گردد. علت این امر، آن است که هنگامی که ابعاد فلز نرمال متصل شده به ابررسانا را کاهش می‌دهیم و آنرا به یک فلز نرمال یک بعدی (نانو سیم) تبدیل می‌کنیم اثرات کوانتموی ظاهر شده باعث می‌شود که بازتاب آندریف به سمت صفر میل کند، و در نتیجه مقدار رسانش بایاس صفر به سمت صفر میل پیدا می‌کند.

به طور خلاصه در این مقاله رسانش بایاس صفر را بر حسب دما و شدت پتانسیل اتصال در نانو سیم متصل شده به ابررسانا موج  $d$ - مطالعه کردیم. ابررسانا موج  $d$ - را در دو جهت (۱۰۰) و (۱۱۰) در نظر گرفته و نتایج را با موترد دو بعدی مقایسه کردیم. نتایج نشان می‌دهند هنگامی که ابررسانا در جهت بلوری (۱۰۰) قرار می‌گیرند طیف رسانش بایاس صفر برای موارد یک بعدی و دو بعدی مشابه می‌باشند. در جهت بلوری (۱۱۰) وضعیت فرق کرده و در اتصالات دو بعدی که پیک‌های رسانش در بایاس صفر تشکیل می‌گردد در مورد اتصال نانوسیم به ابررسانا این پیک‌ها کاملاً از بین می‌روند که علت آن به ظاهر شدن اثرات کوانتموی در کاهش فلز از حالت دو بعدی به یک بعدی مربوط می‌شود.

## مرجع‌ها

- [1] Y. Tanaka, S. Kashiwaya, *physics Review letters* 74 (1995) 3451.
- [2] F. Giazotto, F. Taddei, Superconductors as spin sources for spintronics, *Physics Review B* 77 (2008) 132501.
- [3] Linder, J., et al, Strongly spin-polarized current generated in a Zeeman-split unconventional superconductor, *Physics Review B* 78 (2008) 014516.

صغر، در دمای  $\frac{k_B T}{\Delta_0} = 0.2$  مقدار رسانش  $ZBC$  تقریباً ۰.۳ و در دمای  $\frac{k_B T}{\Delta_0} = 0.4$  مقدار رسانش  $ZBC$  تقریباً ۰.۶ است، یعنی با افزایش دما مقدار  $ZBC$  نیز زیاد می‌شود. اما در دهای بزرگ مقدار رسانش  $ZBC$  در هر دو جهت بلوری (۱۰۰) و (۱۱۰) کاهش می‌باید که شبکه کاهشی برای جهت (۱۰۰) تندتر است.

در اینجا خوب است که مقایسه با موارد اتصال ابررسانا/فلز دو بعدی انجام شود. در مرجع [۱] رسانش تونلی در دمای صفر برای اتصال دو بعدی فلز نرمال/ابررسانا موج  $d$ - محاسبه شده است. در مرجع [۱] تاناکا و کاشیوا یا نشان داده‌اند که به ازای  $\beta = 0$  (جهت بلوری (۱۰۰)) رسانش در بایاس صفر با افزایش شدت پتانسیل اتصال (Z) کم شده و به صفر می‌رسد. مقدار بیشینه به ازای  $Z=0$  بوده و برابر ۲ است که با افزایش Z مقدار آن کاهش یافته و نهایتاً صفر می‌شود. این رفتار کاملاً مشابه رفتار  $ZBC$  به ازای  $0.05 \frac{k_B T}{\Delta_0}$  در شکل (۳(a) می‌باشد. تأکید می‌کنیم که در مرجع [۱] رسانش در دمای صفر محاسبه شده است و بنابراین ما سعی می‌کنیم که مقادیر رسانش بایاس صفر در دمای نزدیک صفر مثل  $0.05 \frac{k_B T}{\Delta_0}$  با نتایج مرجع [۱] مقایسه کنیم. اما به ازای  $\beta = \pi/4$  (جهت بلوری (۱۱۰)) وضعیت کاملاً متفاوت است. به عبارتی دیگر در مورد دو بعدی هر چه شدت پتانسیل اتصال (Z) افزایش یابد مقدار رسانش در بایاس صفر نیز زیاد و زیادتر می‌گردد به گونه‌ای که پیک‌های رسانش در بایاس صفر تشکیل می‌گردد (شکل ۲C در مرجع [۱] را بینید). در حالی که نتایج ما نشان می‌دهند که در دمای پایین (مثل  $0.05 \frac{k_B T}{\Delta_0}$ ) مقدار رسانش عملاً صفر است (شکل ۳C) و پیک‌های رسانش در

- [12] Y. Takagaki, K. Ploog, Quantum point contact spectroscopy of d-wave superconductors, *Physics Review B* 60 (1999) 9750.
- [13] G.E. Blonder, M. Tinkham, T.M. Klapwijk, Transition from metallic to tunneling regimes in superconducting microconstitions: Excess current, charge imbalance and supercurrent conversion, *Physics Review B* 25 (1982) 4551.
- [4] Igor Zutic, Jaroslav Fabian, and S. Das Sarma, Spintronics: Fundamentals and applications, *Reviews of Modern Physics* 76 (2004) 323.
- [5] A.F. Andreev, The thermal conductivity of the intermediate state in superconductors, *Journal of Experimental and Theoretical Physics* 19 (1964) 1228.
- [6] H. Emamipour, N. Mehrabzad, Zeeman effects on the tunneling spectra of a ferromagnetic d-wave superconductor in contact with a quantum wire, *Journal of Superconductivity and Novel Magnetism*, (2015) (DOI: 10.1007/s10948-015-2975-z).
- [7] T. Hirai, et.al, Temperature dependence of transport spin-polarized transport in ferromagnet/ unconventional superconductor junctions, *Physics Review B* 67 (2003) 174501.
- [8] H. Emamipour and M. Abolhasani, Temperature dependence of zero-bias conductance in a normal metal/ ferromagnetic junction, *Superconductor Science and Technology* 23 (2010) 105001.
- [9] N. Yoshida and H. Itoh, - A relation between the zero-bias conductance and spin polarization in ferromagnetic metal/d-wave superconductor junctions, *Physica C* 367 (2002) 165.
- [10] K.Yang and S.Sondhi, Response of a  $dx^2-y^2$  superconductor to a Zeeman magnetic field, *Physics Review B* 57 (1998) 8566.
- [11] W. Herrera, J. Grraldo, Quantum point contact conductance in normal-metal/ insulator/ metal/ superconductor junctions, *Physics Review B* 71 (2005) 094515.